

## 还原石墨/氧化锌复合薄膜的制备及其光电转换性能

陈惠敏<sup>1</sup> 贺蕴秋<sup>\*.1,2</sup> 李一鸣<sup>1</sup> 蔡斯琪<sup>1</sup>

(<sup>1</sup>同济大学材料科学与工程学院, 上海 200092)

(<sup>2</sup>同济大学先进土木材料教育部重点实验室, 上海 200092)

**摘要:** 本工作研究不同过程还原的氧化石墨 rGO/ZnO(reduced graphite oxide/ZnO)复合膜的可见光激发光电转换性能。氧化石墨(GO)经 KOH 还原处理或 NaBH<sub>4</sub> 还原处理后, 和氧化锌溶胶混合, 通过旋涂法和热处理在 F 掺杂 SnO<sub>2</sub> 薄膜导电玻璃(FTO)衬底上形成复合薄膜。采用 XRD、FTIR、FE-SEM、XPS、UV-Vis 等方法对复合薄膜的晶相结构、微观形貌等进行表征, 并测试了复合薄膜在可见光照射下的光电转换性能。GO 的预处理过程对复合薄膜的结构影响显著, 采用 NaBH<sub>4</sub> 对 GO 处理更有利于形成均匀薄膜。光电流测试结果表明不同复合薄膜均能实现可见光照射下产生光电流, 其原理为 rGO 的光激发电子跃迁到 ZnO, 而空穴在 rGO 中迁移, 在 rGO 与 ZnO 界面实现光生载流子分离。其中 NaBH<sub>4</sub> 处理后的 rGO/ZnO 复合薄膜光电流密度最大, 达  $6 \times 10^{-7} \text{ A} \cdot \text{cm}^{-2}$ 。

**关键词:** 氧化石墨; 氧化锌; 溶胶凝胶法; 薄膜; 光电性能

中图分类号: TB33 文献标识码: A 文章编号: 1001-4861(2015)03-0429-10

DOI: 10.11862/CJIC.2015.101

## Preparation and Photoelectric Properties of Reduced Graphite Oxide(rGO)/ZnO Composite Films

CHEN Hui-Min<sup>1</sup> HE Yun-Qiu<sup>\*.1,2</sup> LI Yi-Ming<sup>1</sup> CAI Si-Qi<sup>1</sup>

(<sup>1</sup>School of Materials Science and Engineering, Tongji University, Shanghai 200092, China)

(<sup>2</sup>Key Laboratory of Advanced Civil Engineering Materials, Ministry of Education, Tongji University, Shanghai 200092, China)

**Abstract:** The rGO/ZnO (reduced graphite oxide/ZnO) composite films were synthesized by using different reduction treated graphite oxides (GOs) as precursors, and then their visible-light excitation photoelectric conversion performance was investigated. In this work, we used the two reducing agents, KOH or NaBH<sub>4</sub>, to reduce graphite oxide, then the reduced graphite oxide was mixed with zinc oxide sol. rGO/ZnO composite films were prepared by spin-coating and heat treatment on FTO (fluorine-doped tin oxide) conductive glass substrates. The as-prepared samples were characterized by XRD, FTIR, FE-SEM, XPS, UV-Vis, etc. Pretreatment process of graphite oxide had a great influence on the structure of composite films, reduction treatment by NaBH<sub>4</sub> was more conducive to form a uniform thin film. Photocurrent test results showed that different composite films can produce photocurrent under visible-light irradiation, the principle was photo-excited electron transition from rGO to ZnO to achieve the separation of photo-generated carriers. The GO after NaBH<sub>4</sub>-reduction with ZnO composite film showed the largest photocurrent density with a value of  $6 \times 10^{-7} \text{ A} \cdot \text{cm}^{-2}$ .

**Key words:** graphite oxide; zinc oxide; sol-gel; films; photoelectric property

收稿日期: 2014-12-09。收修改稿日期: 2015-01-18。

国家自然科学基金(No.51175162)资助项目。

\*通讯联系人。E-mail: heyunqiu@tongji.edu.cn, Tel: 021-69580293

## 0 引言

自 2004 年石墨烯被发现以来<sup>[1]</sup>, 其以优异的性质而备受关注。石墨烯为零带隙的半金属<sup>[2]</sup>, 由  $sp^2$  杂化碳原子构成, 具有优异的导电性<sup>[3]</sup>。在光性能方面, 实验得到无支撑单层石墨烯具有极高的透光率<sup>[4]</sup>。作为石墨烯的前驱体, 氧化石墨(GO)以其独特的结构受到越来越多的重视。GO 含有大量含氧官能团, 主要是表面的羟基和环氧基, 以及边缘上的少量羧基、羰基等<sup>[5-7]</sup>。含氧官能团的存在使部分碳原子从  $sp^2$  杂化向  $sp^3$  杂化转变, 从而使 GO 带隙变宽。通过不同程度还原 GO, 控制碳原子  $sp^3$  杂化与  $sp^2$  杂化的比例, 可实现从绝缘体的 GO 到有半导体特性的部分还原氧化石墨(rGO)或半金属性质的石墨烯的转变<sup>[8-9]</sup>。

化学还原 GO 是一种常用的还原方法, 还原剂有强碱<sup>[10]</sup>, 硼氢化钠<sup>[11]</sup>, 水合肼<sup>[12]</sup>等。通过选取不同还原剂可得到不同程度还原的 rGO, 而部分还原的 rGO 具有可见光吸收性、呈现出 p 型半导体特性<sup>[13-14]</sup>。

GO 表面和边缘的含氧基团可使 GO 与金属氧化物形成复合材料<sup>[15]</sup>。目前关于 GO 与金属氧化物复合材料的应用研究主要集中在光催化领域<sup>[16-18]</sup>。张晓燕等<sup>[17]</sup>合成了 rGO/TiO<sub>2</sub> 复合材料, 实现了该复合材料在紫外-可见光条件下的光催化分解水制氢的目标。陈小刚等<sup>[18]</sup>在低温条件下制备了 rGO/ZnO 复合材料, GO 与 ZnO 的复合过程中, GO 自身被还原为 rGO, 复合材料的紫外光催化性能显著改善。关于 GO/ZnO 复合材料的研究还应用于超级电容器<sup>[19]</sup>, 光敏器件<sup>[20]</sup>等。

关于 rGO/ZnO 复合薄膜在可见光光电转换应用的研究目前尚未见报道。本工作的研究目标是将 p 型半导体 rGO 作为光吸收体和空穴导体, 与 n 型半导体 ZnO 复合构成异质结, 如果可见光激发 rGO 产生的导带受激发电子能够向 n 型 ZnO 转移, 而空穴在 rGO 中迁移, 就有可能在 rGO/ZnO 界面形成电子-空穴分离, 实现这一复合材料的可见光激发光电转换。

本工作采用溶胶凝胶法在 FTO (氟掺杂锡氧化物, fluorine-doped tin oxide) 衬底上制备了不同预处理方式的 rGO/ZnO 复合薄膜。研究了不同还原剂制备的 rGO/ZnO 复合薄膜的结构变化及其与光电性能之间的关系。光电流测试结果表明复合薄膜在可见光照射下产生光电流, 这一结果证实了 rGO 可作

为光吸收体和空穴导体应用于可见光光电转换。

## 1 实验部分

### 1.1 材料的制备

所用试剂均为分析纯, 购自国药集团上海化学试剂公司。石墨直径  $d < 1\text{ }300\text{ nm}$ , 上海慈太龙实业有限公司生产。GO 利用改进的 Hummer's 方法<sup>[21]</sup>制备。

#### 1.1.1 GO 的还原

使用 KOH 和 NaBH<sub>4</sub> 为还原剂分别对 GO 进行预处理。

KOH 还原 GO: 取 69 mg GO 加入 100 mL 高纯水中, 超声分散形成棕色透明溶液, 加入 9 mL 1 mol·L<sup>-1</sup> KOH, 然后在 80 °C 恒温水浴 0.5 h。

NaBH<sub>4</sub> 还原 GO: 取 69 mg GO 加入 100 mL 高纯水中, 超声分散形成棕色透明溶液。用 1 mol·L<sup>-1</sup> 的 KOH 溶液调节 pH 值至 10, 加入 35.4 mg 的 NaBH<sub>4</sub>, 在 80 °C 恒温水浴 1 h。

将上述的还原氧化石墨(rGO)溶液冷却后用 1 mol·L<sup>-1</sup> 的 HCl 调节溶液 pH=1, 先后分别用高纯水和无水乙醇各离心洗涤 3 次, 吸掉上清液备用。

#### 1.1.2 复合前驱体溶胶的制备

ZnO 溶胶的制备: 以乙二醇甲醚为溶剂, 二水合醋酸锌为前驱体溶质, 锌离子浓度为 0.4 mol·L<sup>-1</sup>, 作为稳定剂的乙醇胺 (MEA) 与锌离子浓度比为 1:1, 60 °C 水浴 2 h 制备 ZnO 溶胶。

复合溶胶的制备: 取 108 mL ZnO 溶胶分别与上述不同预处理方式的 rGO 混合。镀膜前超声 15 min。

#### 1.1.3 薄膜的制备

以 FTO 为衬底, 采用旋涂法镀膜。在 2 000 r·min<sup>-1</sup> 的转速下旋转 30 s, 每镀一层膜后, 将薄膜在 250 °C 下预处理 10 min, 冷却 15 min。以上过程重复 4 次后, 将薄膜在 N<sub>2</sub> 气氛下烧结, 以 2 K·min<sup>-1</sup> 的升温程序在 400 °C 烧结 2 h。随炉冷却至室温。

文中命名方法: 纯 ZnO 记作 ZnO; 经 KOH 还原的 GO 记作 A-rGO; A-rGO 与 ZnO 的复合薄膜记作 A-rGO/ZnO; 经 NaBH<sub>4</sub> 还原的 GO 记作 B-rGO; B-rGO 与 ZnO 的复合薄膜记作 B-rGO/ZnO; 为了比较不同还原剂对薄膜性能的影响, 本工作还采用了未经还原的 GO 作为前驱物, 制备了 GO/ZnO 复合薄膜。

## 1.2 样品的表征和光电性能测试

### 1.2.1 样品的表征

使用全自动 X 射线衍射仪(XRD, D/max-rB, 12

kW, Rigaku, Japan)表征样品的晶体结构。扫描方式为连续扫描,衍射源为铜靶,石墨单色器滤波( $\text{Cu } K\alpha$ ,  $\lambda=0.154$  18 nm),  $I=40$  mA,  $V=40$  kV, 扫描速度为  $5^\circ \cdot \text{min}^{-1}$ , 扫描范围  $5^\circ$ ~ $80^\circ$ 。采用场发射扫描电镜(FE-SEM, Quanta 200FEG) 和原子力显微镜(AFM, SPA-300HV)观察样品的微观形貌。采用傅里叶变换红外光谱(FTIR, Equinox55, BRUKER OPTICS)分析样品的分子结构。使用X射线光电子能谱(XPS, Al靶( $\text{Al } K\alpha$ ,  $h\nu=1486.6$  eV), ESCALAB 250Xi, Thermo Scientific)分析样品的表面组成。

### 1.2.2 样品的光电性能测试

利用紫外可见分光光度计(U-4100, 日本日立)测量薄膜吸光度,扫描范围为200~800 nm,扫描速率为中速。

本实验利用CHI660C型电化学工作站(上海辰华公司)对薄膜进行电化学测试,包括光电转换性能测试以及电化学循环伏安(electrochemical Cyclic Voltammetry, CV)测试。以薄膜电极为工作电极(浸入溶液面积为 $2\text{ cm} \times 1.5\text{ cm}$ ), Pt片为辅助电极,电解液为 $1\text{ mol} \cdot \text{L}^{-1}$ 的 $\text{Na}_2\text{SO}_4$ 溶液进行薄膜的光电转换性能测试。光电性能转换测试用的可见光源为中教金源科技有限公司制造的氘灯光源,使用功率为300 W,通过滤光片使激发光波长大于450 nm后照射样品。为避免自然光的影响,测试均在暗室进行,黑暗与光照间隔时间为10 s,以单位面积光电流作

为光电转换性能的对比指标。CV测试时,工作电极为薄膜,对电极为Pt片,参比电极为 $\text{Ag}/\text{Ag}^+$ 准参比电极(每次使用前均用二茂铁( $\text{Fe}/\text{Fe}^+$ )标定其标准电位),电解液为 $0.1\text{ mol} \cdot \text{L}^{-1}$ 的高氯酸锂乙腈溶液。

## 2 结果与讨论

### 2.1 薄膜的XRD分析

图1(a)为本实验制备的氧化石墨的XRD图, GO在 $9^\circ$ 出现(002)的特征衍射峰<sup>[22]</sup>。纯GO或rGO在400℃易分解挥发,所以文中没有讨论分析经过热处理后纯GO或rGO的结构。图1(b)中a~d分别是纯ZnO薄膜、未经还原GO与ZnO形成的GO/ZnO复合薄膜、KOH还原后的rGO与ZnO形成的A-rGO/ZnO复合薄膜、 $\text{NaBH}_4$ 还原后的rGO与ZnO形成的B-rGO/ZnO复合薄膜的XRD图。图1(b)中各衍射线在 $22^\circ$ 均有一个峰,这是衬底高硼硅玻璃的馒头峰。各薄膜中的ZnO晶相均为六方晶系纤锌矿结构(PDF No.36-1451),说明复合后ZnO晶相仍能够正常形成。其中复合薄膜GO/ZnO、B-rGO/ZnO中的GO特征峰保留,可能是因为部分GO层间没有ZnO晶相形成。而A-rGO/ZnO中的GO特征峰消失,则可能是因为ZnO晶相进入了GO的各片层,或者复合膜中单层rGO的褶皱程度较大导致各片层间失去了面面堆垛的结构<sup>[23]</sup>。

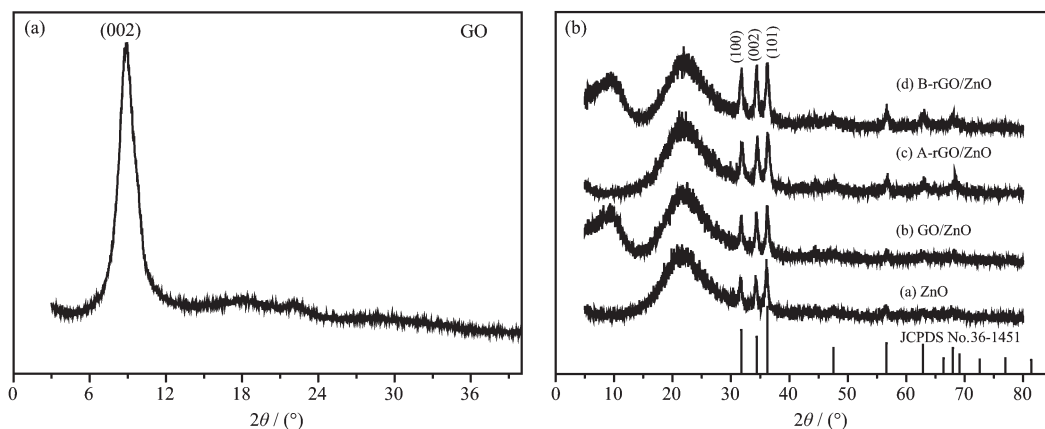


图1 (a) 氧化石墨的XRD图;(b) 不同薄膜的XRD图

Fig.1 XRD patterns of (a) GO, (b) films

### 2.2 薄膜的微观形貌分析

图2为不同复合薄膜的FE-SEM图。图2(a)为GO/ZnO复合薄膜,图2(b)为A-rGO/ZnO复合薄膜,从图中可以看出两种复合薄膜中rGO层均呈现一定的褶皱。但后者中褶皱远多于前者,这可能正是

XRD分析中A-rGO/ZnO复合薄膜中GO峰消失的原因。图2(c)为B-rGO/ZnO复合薄膜,rGO层褶皱最少。对2(c)中圈出区域进行放大,得到复合结构的细节形貌图,如图2(d)所示。从图2(d)可以看出ZnO颗粒较均匀地分散在rGO表面上,这些ZnO颗粒均

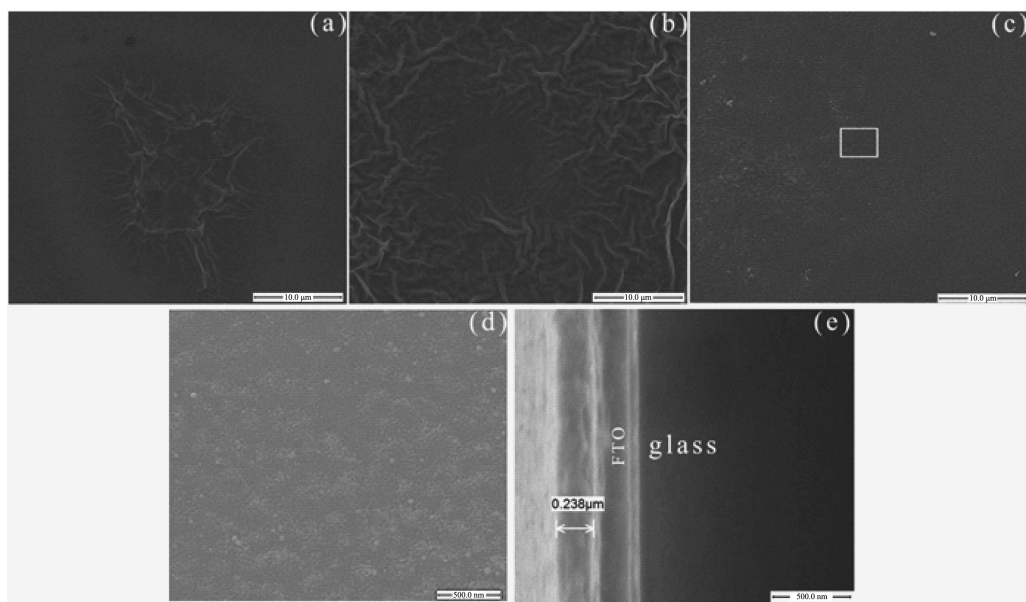


图2 不同薄膜的FE-SEM照片:(a)~(c)分别是GO/ZnO、A-rGO/ZnO、B-rGO/ZnO复合薄膜10 μm的表面形貌;(d) B-rGO/ZnO复合薄膜500 nm的表面形貌;(e) B-rGO/ZnO复合薄膜的截面图

Fig.2 (a)~(c): SEM images of GO/ZnO、A-rGO/ZnO、B-rGO/ZnO with scale bar of 10 μm respectively; (d) SEM image of B-rGO/ZnO with scale bar of 500 nm; (e) Cross-sectional view of B-rGO/ZnO

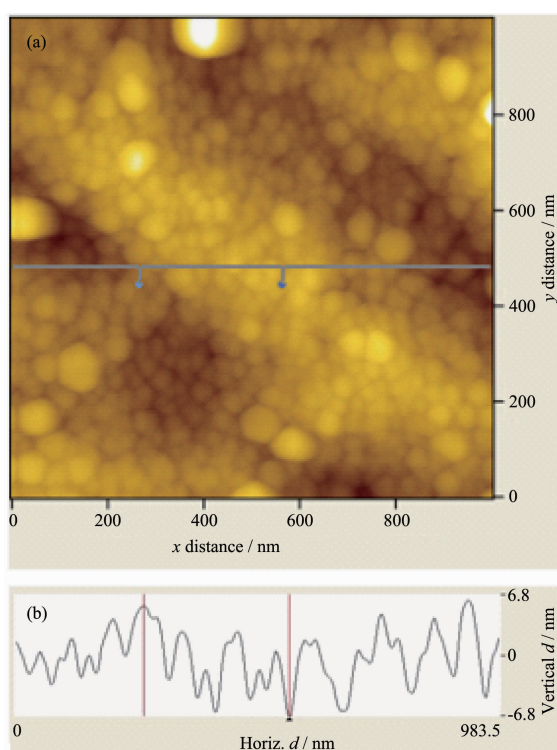


图3 (a) B-rGO/ZnO复合薄膜的AFM图;(b) 中横坐标为(a)中水平线的坐标,纵坐标表示相应的高低起伏

Fig.3 AFM image (a) and height-value evolution along the horizontal line on the surface (b) of B-rGO/ZnO

能够与rGO有良好接触。图2(e)为B-rGO/ZnO复合薄膜的截面图,复合薄膜厚度约为238 nm。从截面图也可以看出,复合薄膜B-rGO/ZnO较均匀的平铺在衬底上。图3(a)为和图2(d)相同组成的B-rGO/ZnO复合薄膜的AFM图,从图中可以看出ZnO的颗粒大小约为20~50 nm。图3(b)给出了薄膜表面高度的起伏曲线,可以看出复合薄膜的最大起伏高度约为12 nm,反映出B-rGO/ZnO表面rGO层褶皱起伏较小。

### 2.3 FTIR分析

图4(a)~(f)给出了GO、A-rGO、B-rGO、GO/ZnO、

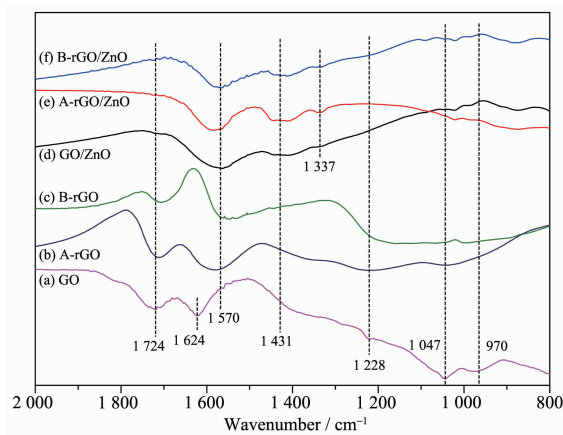


图4 各种样品的红外吸收光谱

Fig.4 FTIR spectra of the samples

A-rGO/ZnO、B-rGO/ZnO 的红外吸收光谱。其中 GO、A-rGO、B-rGO 样品是真空冷冻干燥后的粉末,采用全反射红外光谱(ATR)法测试;复合材料样品是将复合溶胶在同样的热处理条件下烧结后研磨的粉末,采用透射红外光谱(KBr 压片)测试。GO 存在诸多含氧基团的吸收峰:1 724 cm<sup>-1</sup> 和 1 047 cm<sup>-1</sup> 附近的 2 个较为明显的吸收峰分别是 C=O 和 C-OH 的伸缩振动峰;1 624 cm<sup>-1</sup> 附近的吸收峰为水分子中 H-O-H 的弯曲振动峰;1 228 cm<sup>-1</sup> 附近的吸收峰属于环氧 C-O-C 的不对称伸缩振动峰;970 cm<sup>-1</sup> 附近的吸收峰是环氧 C-O-C 的对称伸缩振动峰<sup>[24]</sup>。经 KOH 和 NaBH<sub>4</sub> 处理后,970 cm<sup>-1</sup> 附近的环氧 C-O-C

对称伸缩振动峰均消失,1 570 cm<sup>-1</sup> 附近均出现石墨烯的骨架振动吸收峰;但与经 NaBH<sub>4</sub> 处理后的 rGO 相比,经 KOH 处理后的 rGO 中位于 1 047 cm<sup>-1</sup> 附近的 C-OH 伸缩振动峰仍存在。3 种不同复合膜在 1 228 cm<sup>-1</sup> 附近的 C-O-C 伸缩振动特征峰均消失;1431 cm<sup>-1</sup> 附近均出现芳环 C=C 的伸缩振动特征峰。与其他两种复合膜相比,A-rGO/ZnO 在 1 337 cm<sup>-1</sup> 附近出现醇羟基 C-OH 的弯曲振动峰。

## 2.4 XPS 分析

图 5(a)~(f) 分别为 GO、A-rGO、B-rGO、GO/ZnO、A-rGO/ZnO、B-rGO/ZnO 中 C1s 层电子的 XPS 谱。其中 GO、A-rGO、B-rGO 的测试样品是真空冷冻干燥

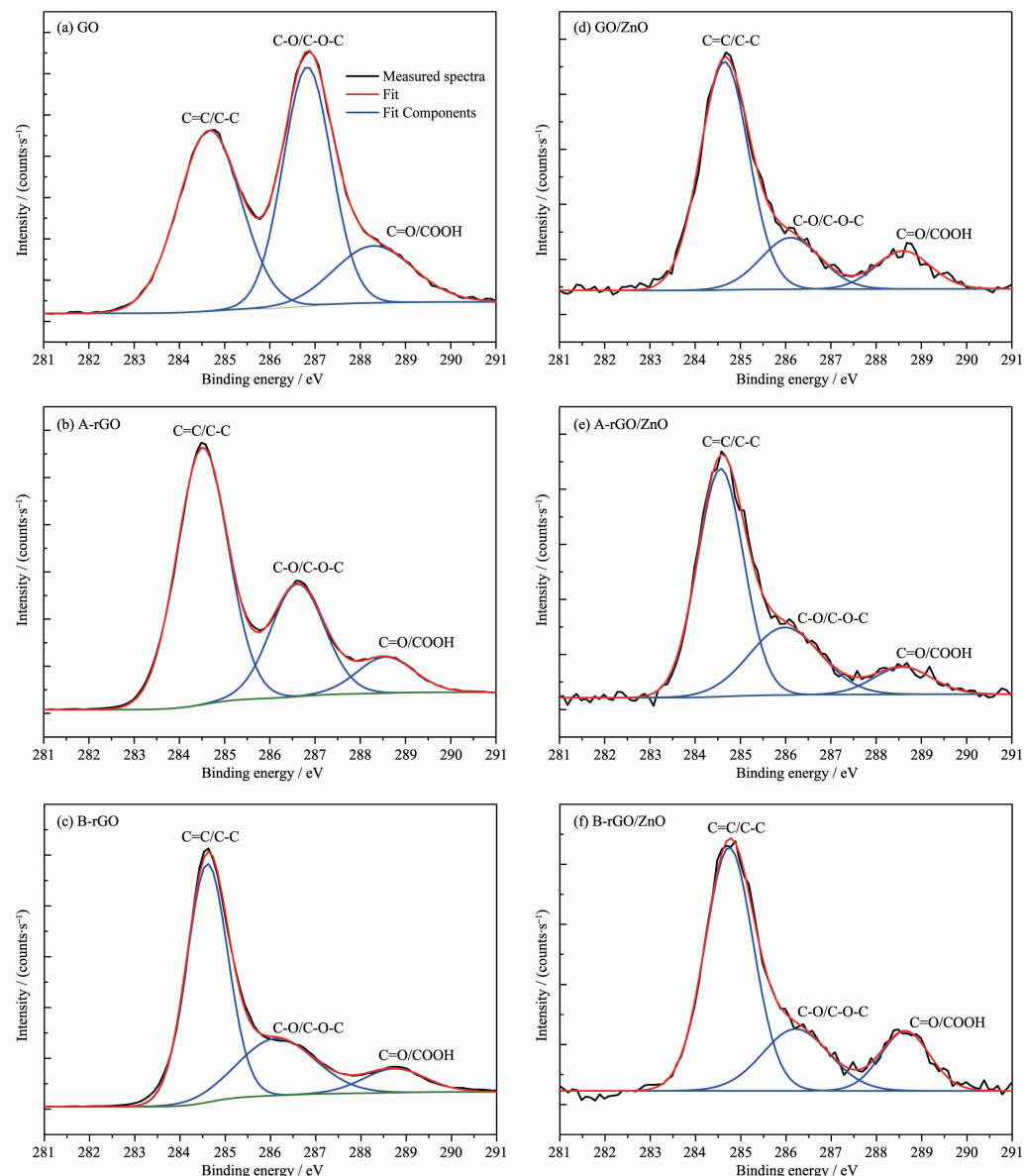


图 5 不同样品的 C1s 层电子的 XPS 谱

Fig.5 Peak fitting results of C1s narrow XPS spectra of different samples

表1 不同样品的XPS拟合结果,C1s不同化学态的结合能及百分比

Table 1 XPS data of different samples, including binding energy (eV) and relative area percentage (%)

Samples	C=C/C-C		C-O/C-O-C		C=O/COOH		C/Zn
	Peak / eV	Content / %	Peak / eV	Content / %	Peak / eV	Content / %	
GO	284.6	41.5	286.5	42.2	288.3	16.3	—
A-rGO	284.6	61.9	286.6	28.5	288.6	9.6	—
B-rGO	284.6	62.6	286.1	27.9	288.7	9.5	—
GO/ZnO	284.6	68.3	286.2	18.9	288.6	12.8	0.035
A-GO/ZnO	284.6	62.2	286.0	28.5	288.6	9.3	0.040
B-GO/ZnO	284.6	62.6	286.2	21.9	288.7	15.5	0.041

后的粉末;GO/ZnO、A-rGO/ZnO、B-rGO/ZnO 的测试样品是热处理后的薄膜。表1列出了各拟合峰对应的结合能位置及其百分含量,同时根据XPS谱给出了复合薄膜中碳锌比。

从表1可见GO碳骨架上的基团C=C/C-C(含量41.5%)、C-O/C-O-C(含量42.2%)、C=O/COOH(含量16.3%)。GO经KOH处理和NaBH<sub>4</sub>处理后,C=C/C-C的含量分别增加至61.9%和62.6%,C-O/C-O-C的含量分别减少至28.5%和27.9%,C=O/COOH的含量分别减少至9.6%和9.5%。虽然A-rGO与B-rGO中C-O/C-O-C的含量相近,但两者中C-O/C-O-C的结合能不同(分别为286.6 eV和286.1 eV)。C-O/C-O-C中包括C-OH和C-O-C,结合红外谱图A-rGO出现明显的C-OH特征吸收峰,说明A-rGO中含有较多的C-OH,B-rGO中含有较多的C-O-C。

在3种复合薄膜中,GO/ZnO中的C=C/C-C含量最多(68.3%),但碳锌比最低(0.035),可能是由于未经还原的GO热稳定性比较差,含氧基团分解挥发比较多所致。A-rGO/ZnO与B-rGO/ZnO中C=C/C-C的含量均为62.0%左右,与复合前rGO中C=C/C-C的含量相比基本保持不变,两种复合膜中的碳锌比也趋于一致(0.040左右)。与A-rGO相比,A-rGO/ZnO中C-O/C-O-C的含量没有变化。相对于B-rGO,B-rGO/ZnO中C-O/C-O-C的含量下降6.0%,相应地B-rGO/ZnO中C=O/COOH的含量上升6.0%。C-O-C在复合反应过程中可能部分反应形成C=O/COOH<sup>[25]</sup>,

导致复合膜B-rGO/ZnO中C=O/COOH的含量上升。一般认为C=O/COOH位于rGO片层的边缘<sup>[5]</sup>,C=O/COOH含量的上升可能导致在复合过程中rGO碎片化,形成比较平整的复合薄膜。这与复合薄膜形貌分析的结果吻合,B-rGO/ZnO中rGO层褶皱起伏较小。

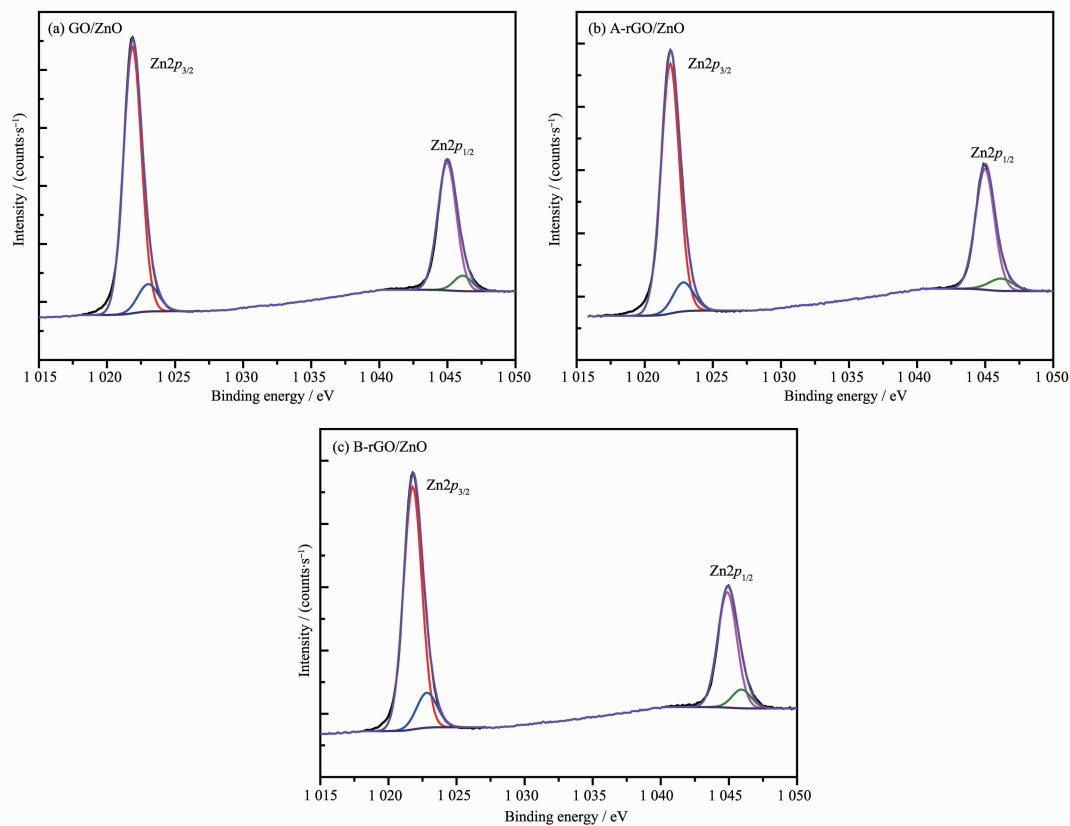
图6(a)~(c)分别为复合薄膜GO/ZnO、A-rGO/ZnO、B-rGO/ZnO中Zn2p层电子的XPS谱。各状态Zn2p<sub>3/2</sub>轨道的结合能分别为:(1 021.8±0.1)eV(Zn I)和(1 023.0±0.1)eV(Zn II)。相应的2p<sub>1/2</sub>轨道的结合能分别为:(1 044.9±0.1)eV(Zn I)和(1 046.1±0.1)eV(Zn II)。Zn I被认为化学键Zn-O中锌的电子结合能,Zn II被认为是rGO与ZnO界面上化学键C-O-Zn中锌的电子结合能<sup>[26]</sup>,拟合结果见表2。

GO/ZnO复合薄膜中C-O-Zn的百分含量为10.5%;而当GO经过处理后再与ZnO复合,复合薄膜中C-O-Zn的百分含量均有一定的提高。A-rGO/ZnO复合薄膜中的C-O-Zn的百分含量为11.6%,B-rGO/ZnO复合薄膜中的C-O-Zn的百分含量达到13.9%。说明复合薄膜B-rGO/ZnO中rGO与ZnO更好的结合,这与前面的分析一致。未经处理的GO热分解较多,留在复合膜中的含量较少;而还原处理后的rGO复合薄膜碳锌比上升,即热分解下降,薄膜中形成更多的C-O-Zn键。因为rGO与ZnO在复合过程中生成结合键,这提高了复合膜中rGO的分解温度。

表2 不同薄膜的Zn2p轨道的结合能及不同化学状态Zn的百分比

Table 2 Binding energy of Zn2p and percentage of zinc in different composite films

Samples	Zn <sup>I</sup> 2p <sub>3/2</sub>		Zn <sup>II</sup> 2p <sub>3/2</sub>		Zn <sup>I</sup> 2p <sub>1/2</sub>		Zn <sup>II</sup> 2p <sub>1/2</sub>	
	Peak / eV	Content / %	Peak / eV	Content / %	Peak / eV	Content / %	Peak / eV	Content / %
GO/ZnO	1 021.8	89.5	1 023.0	10.5	1 044.9	89.5	1 046.1	10.5
A-GO/ZnO	1 021.8	88.4	1 023.0	11.6	1 044.9	88.4	1 046.1	11.6
B-GO/ZnO	1 021.8	86.1	1 022.9	13.9	1 044.9	86.1	1 046.0	13.9

图 6 (a)、(b)、(c) 分别为不同复合薄膜  $Zn2p_{3/2}$  和  $Zn2p_{1/2}$  的结合能Fig.6 Peak fitting results of  $Zn2p$  narrow XPS spectra of different samples

## 2.5 薄膜的 UV-Vis 分析

图 7 分别为  $ZnO$  薄膜、 $GO/ZnO$  薄膜、 $A-rGO/ZnO$  薄膜、 $B-rGO/ZnO$  薄膜的 UV-Vis 透过率曲线。由于 FTO 的紫外吸收信号太强,会掩盖样品的信号,因此以石英玻璃作为衬底镀膜,图中 bare glass 表示石英玻璃衬底。通过比较不同薄膜的透过率曲线,可以看出  $ZnO$  薄膜及不同复合薄膜样品均在紫外光区( $<400$  nm)产生特征吸收峰。从图 7 可以看

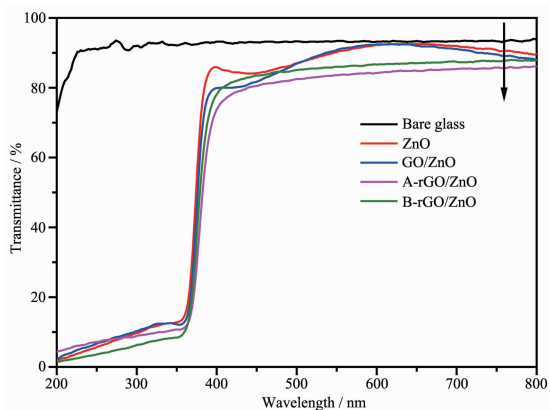


图 7 不同薄膜的 UV-Vis 吸收谱

Fig.7 UV-Vis light transmission of different samples

出,不同复合薄膜的可见光透过率均在 80%以上。 $ZnO$  薄膜以及  $GO/ZnO$  薄膜在可见光范围内透过率比较高,但经过 KOH 处理和  $NaBH_4$  处理的 rGO/ $ZnO$  复合薄膜透过率有所下降。 $A-rGO/ZnO$  在可见光范围内的光吸收略强于  $B-rGO/ZnO$  的光吸收。

## 2.6 薄膜的能级结构分析

采用循环伏安(CV)对不同薄膜的能级结构进行测试。图 8(a)为纯  $ZnO$  薄膜的 CV 曲线,线性增长段反映了电子向溶液转移的过程,其与零电位线的交点可看作导带中出现电子的电势位置,因此可视为导带底的位置。从图 8(a)可得纯  $ZnO$  薄膜导带底的位置为  $-0.64$  V (vs Ferrocene/Ferrocene ion,  $Fc/Fc^+$ )。图 8(b)~(d) 分别是  $GO/ZnO$ 、 $A-rGO/ZnO$ 、 $B-rGO/ZnO$  3 种不同复合薄膜的 CV 曲线。从图中可以看出,复合薄膜的 CV 曲线均有两段线性增长,说明复合薄膜中  $ZnO$  和 rGO 有不同的能级结构。对各 CV 曲线的首段做切线,可得导带底的位置分别为  $-0.63$  V,  $-0.63$  V,  $-0.62$  V (vs  $Fc/Fc^+$ ),这与纯  $ZnO$  薄膜的导带底位置相近,所以可分别看作不同复合薄膜中  $ZnO$  导带底的位置。对各 CV 曲线的第二段做切线,

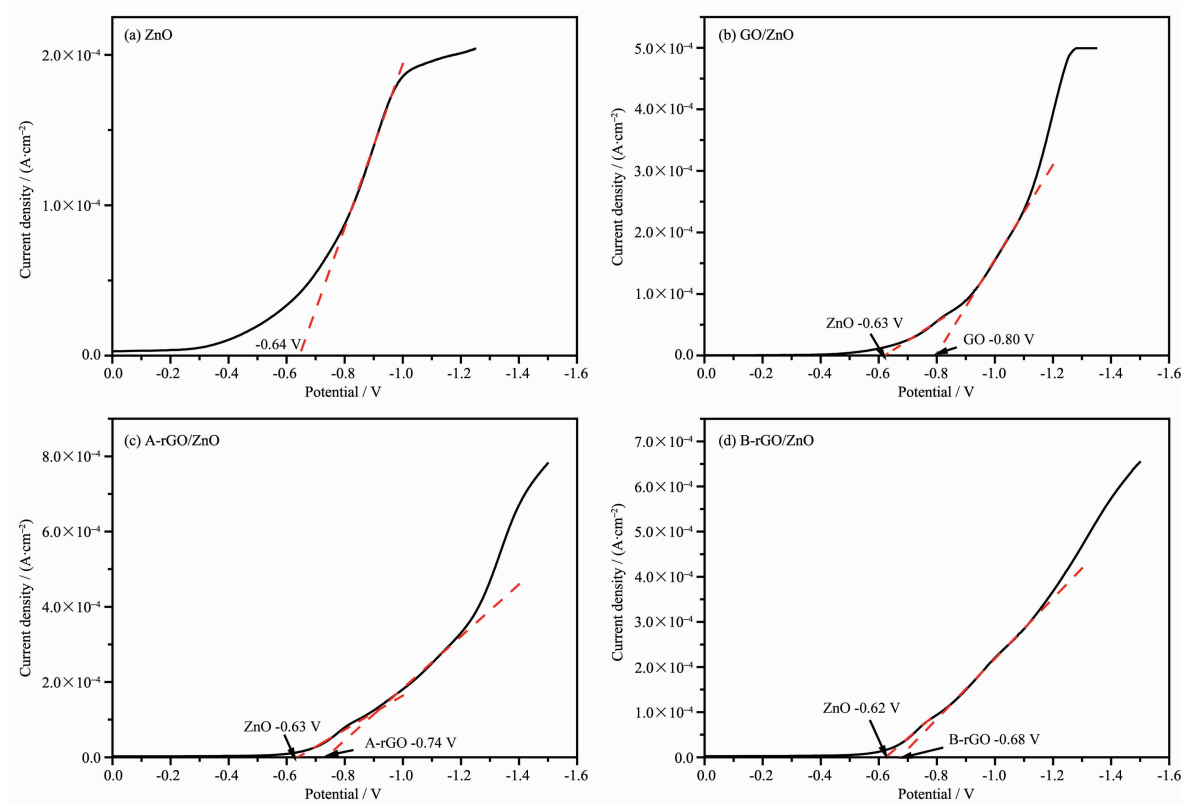


图 8 不同薄膜的循环伏安(C-V)曲线

Fig.8 Cyclic voltammetry of different films

可得复合薄膜中 rGO 的导带位置分别为  $-0.80\text{ V}$ ,  $-0.74\text{ V}$ ,  $-0.68\text{ V}$ (vs  $\text{Fc}/\text{Fc}^+$ )。

由图 8 可以看出  $\text{ZnO}$  的导带底位置都比不同结构 rGO 的导带底位置低, 所以复合薄膜受到可见光照射时 rGO 的光激发电子可跃迁到  $\text{ZnO}$ 。且 B-rGO 的导带底位置最靠近  $\text{ZnO}$  的导带底位置, 电子更容易实现跃迁。这可能缘于不同方式预处理后的 rGO 含氧官能团的不同。

## 2.7 薄膜的光电性能研究

图 9 (a)~(c) 分别为复合薄膜  $\text{GO}/\text{ZnO}$ 、 $\text{A}-\text{rGO}/\text{ZnO}$ 、 $\text{B}-\text{rGO}/\text{ZnO}$  在黑暗和光照条件下的开路电压( $V_{\text{OC}}$ )和短路电流( $J_{\text{SC}}$ )。 $\text{GO}/\text{ZnO}$ 、 $\text{A}-\text{rGO}/\text{ZnO}$ 、 $\text{B}-\text{rGO}/\text{ZnO}$  在光照条件下的  $V_{\text{OC}}$  分别为  $-0.052$ 、 $-0.076$ 、 $-0.23\text{ V}$ ;  $J_{\text{SC}}$  分别为  $-5.0 \times 10^{-7}$ 、 $-5.1 \times 10^{-7}$ 、 $-1.2 \times 10^{-6}\text{ A} \cdot \text{cm}^{-2}$ 。 $\text{B}-\text{rGO}/\text{ZnO}$  的  $V_{\text{OC}}$  最大, 光电转换性能最好。 $\text{B}-\text{rGO}/\text{ZnO}$  的短路电流最高, 说明  $\text{B}-\text{rGO}/\text{ZnO}$  导电性最好。不同复合膜中,  $\text{ZnO}$  的导电性能可视为相同, 复合薄膜导电性能的差异可归因于不同预处理的 rGO 导电性能的差异。FTIR 和 XPS 分析得知  $\text{A}-\text{rGO}/\text{ZnO}$  与  $\text{B}-\text{rGO}/\text{ZnO}$  的还原程度相近, 但前者 C-OH 含量较多, 后者 C=O/COOH 含量较多。一

般认为 C-OH 位于氧化石墨层表面而 C=O/COOH 位于氧化石墨层的边缘, C=O/COOH 含量较多更有利提高复合薄膜的导电性, 因此  $\text{B}-\text{rGO}/\text{ZnO}$  导电性最好。具体的来看,  $\text{B}-\text{rGO}/\text{ZnO}$  黑暗条件下的  $V_{\text{OC}}$  为  $-0.056\text{ V}$ ,  $J_{\text{SC}}$  为  $-1.8 \times 10^{-7}\text{ A} \cdot \text{cm}^{-2}$ , 光照条件下的  $V_{\text{OC}}$  为  $-0.23\text{ V}$ ,  $J_{\text{SC}}$  为  $-1.2 \times 10^{-6}\text{ A} \cdot \text{cm}^{-2}$ 。两条曲线的积分面积为该复合薄膜的功率密度, 可达  $8.2\text{ W} \cdot \text{cm}^{-2}$ 。

图 10 为复合薄膜  $\text{GO}/\text{ZnO}$ 、 $\text{A}-\text{rGO}/\text{ZnO}$ 、 $\text{B}-\text{rGO}/\text{ZnO}$  在可见光照射下的单位面积光电流曲线。从图中可以看出, 3 种复合薄膜均在可见光照射下产生光电流, 证明了 rGO 可作为光吸收体和空穴导体实现光电性能转换。当可见光照射到复合薄膜表面时, rGO 的光激发电子跃迁到  $\text{ZnO}$ , 而空穴在 rGO 迁移, 在 rGO 与  $\text{ZnO}$  界面实现光生载流子分离, 从而使复合薄膜具有光电转换性能。

$\text{GO}/\text{ZnO}$ 、 $\text{A}-\text{rGO}/\text{ZnO}$ 、 $\text{B}-\text{rGO}/\text{ZnO}$  复合薄膜的单位面积光电流分别为:  $3 \times 10^{-8}$ 、 $1.5 \times 10^{-7}$ 、 $6 \times 10^{-7}\text{ A} \cdot \text{cm}^{-2}$ , 呈现依次递增趋势。这可能是因为:(1) 电子在界面的跃迁取决于 rGO 与  $\text{ZnO}$  的导带底位置,  $\text{B}-\text{rGO}$  的导带底位置最靠近  $\text{ZnO}$  的导带底位置, 电子

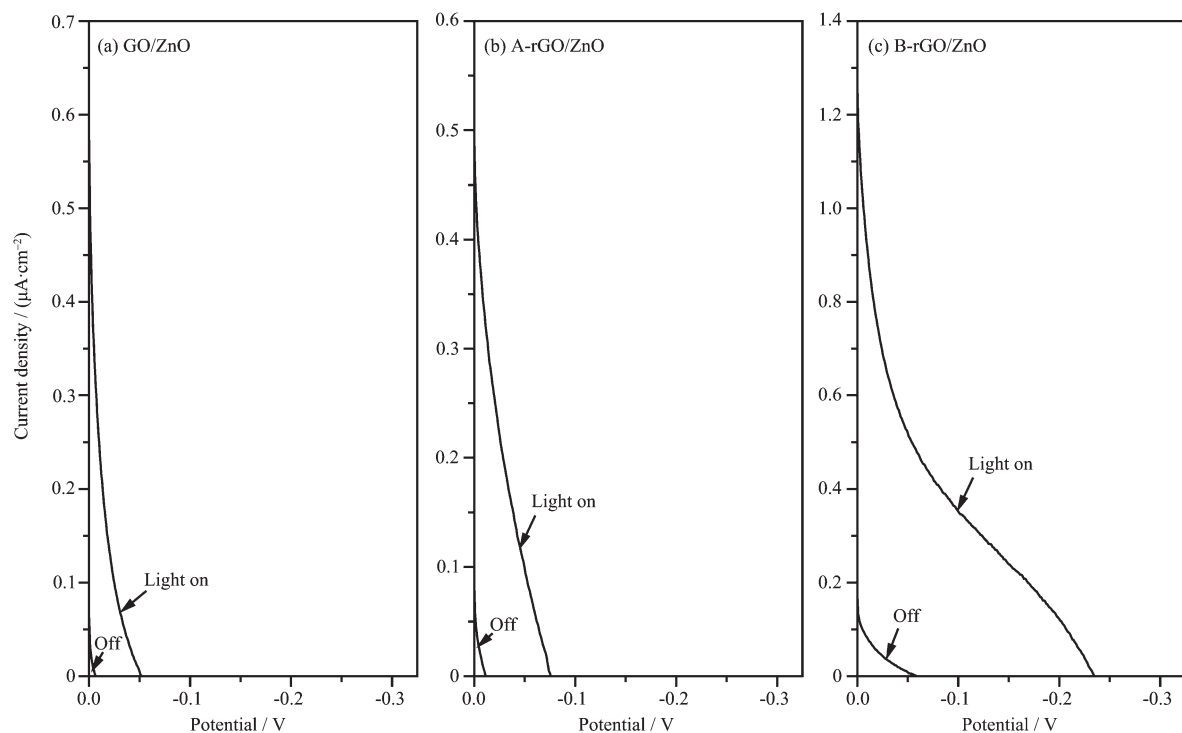


图 9 不同复合薄膜在黑暗及光照条件下的开路电压和短路电流

Fig.9 Open circuit voltage and short circuit current of different composite films in the dark and light conditions

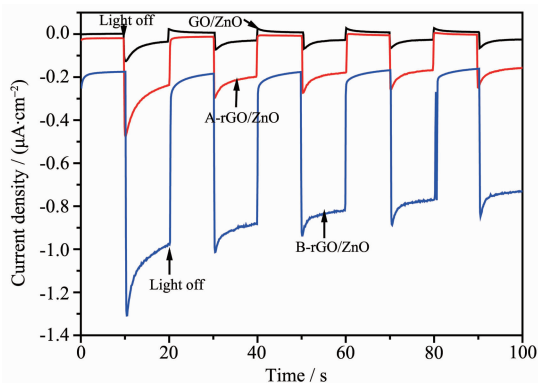


图 10 3 种不同薄膜的单位面积光电流曲线

Fig.10 Photocurrent density of different films

更容易实现跃迁,从而产生光电流更大。(2) p型半导体 rGO 以及 n 型的 ZnO 导电性越好,光电流越大。从 3 种复合薄膜的短路电流可以看出 B-rGO 的导电性最好。(3) 光电流的大小还取决于光吸收强度,从透过率曲线可以看出,3 种复合薄膜的光透过率都在 80% 左右,说明薄膜中作为可见光吸收体的 rGO 含量较低,尽管 A-rGO/ZnO 的光吸光强度比 B-rGO/ZnO 略高,但 B-rGO/ZnO 的开路电压和短路电流大导致 B-rGO/ZnO 的光电转换性能更好。综合以上因素,B-rGO/ZnO 的单位面积光电流最大。此外,因为复合薄膜的光透过率都在 80% 左右且碳锌比

为 0.040 左右,可视为透明材料,说明复合薄膜里 rGO 的含量很少,因此如增加厚度或石墨烯含量有望得到更大光电流。

### 3 结 论

采用不同还原剂对氧化石墨 (graphite oxide, GO) 进行处理,并以还原后的氧化石墨(rGO)和 ZnO 溶胶为前驱物,通过旋涂法和热处理在 FTO 导电玻璃上制备 rGO/ZnO 复合薄膜。研究证实 rGO 作为光吸收体在可见光激发下产生的导带受激发电子能够向 n 型 ZnO 转移,而空穴在 rGO 中迁移,在 rGO/ZnO 界面形成电子-空穴分离, 实现这一复合材料的可见光激发光电转换。

GO 的预处理方式对复合薄膜结构有较大影响。GO 经 KOH 和 NaBH<sub>4</sub> 处理后 C=C/C-C 含量相近,但 KOH 处理后的 rGO 含有较多的 C-OH,而 NaBH<sub>4</sub> 处理后的 rGO 含有较多的 C-O-C,C-O-C 在 rGO 与 ZnO 复合反应过程中部分反应形成 C=O/COOH,导致复合薄膜 B-rGO/ZnO 中 C=O/COOH 含量上升,rGO 片层面积减小,复合膜的褶皱起伏较小。因此采用 NaBH<sub>4</sub> 对 GO 处理更有利于形成均匀薄膜。不同方式预处理后的 rGO 含氧官能团的不同不仅影响复合薄膜的形貌,而且影响薄膜的能级

结构。

光电流测试结果表明未经还原 GO 与 ZnO 形成的 GO/ZnO 复合薄膜、KOH 还原后的 rGO 与 ZnO 形成的 A-rGO/ZnO 复合薄膜、NaBH<sub>4</sub> 还原后的 rGO 与 ZnO 形成的 B-rGO/ZnO 复合薄膜在可见光照射下的光电流密度依次增大, 分别为  $3 \times 10^{-8}$ 、 $1.5 \times 10^{-7}$ 、 $6 \times 10^{-7} \text{ A} \cdot \text{cm}^{-2}$ 。3 种不同复合薄膜的可见光透过率都在 80% 左右, 但 B-rGO 的导带底位置最靠近 ZnO 的导带底位置, 而且 B-rGO/ZnO 的开路电压和短路电流均最大, 从而导致 B-rGO/ZnO 复合薄膜的光电流密度最大。

### 参考文献:

- [1] Novoselov K S, Geim A K, Morozov S, et al. *Science*, **2004**, *306*(5696):666-669
- [2] Neto A C, Guinea F, Peres N, et al. *Rev. Mod. Phys.*, **2009**, *81*(1):109
- [3] Mayorov A S, Gorbachev R V, Morozov S V, et al. *Nano Lett.*, **2011**, *11*(6):2396-2399
- [4] Nair R, Blake P, Grigorenko A, et al. *Science*, **2008**, *320*(5881):1308-1308
- [5] Hontoria-Lucas C, Lopez-Peinado A, López-González J de D, et al. *Carbon*, **1995**, *33*(11):1585-1592
- [6] Dreyer D R, Park S, Bielawski C W, et al. *Chem. Soc. Rev.*, **2010**, *39*(1):228-240
- [7] WAN Chen(万臣), PENG Tong-Jiang(彭同江), SUN Hong-Juan(孙红娟), et al. *Chinese J. Inorg. Chem.*(无机化学学报), **2012**, *28*(5):915-921
- [8] Loh K P, Bao Q, Eda G, et al. *Nat. Chem.*, **2010**, *2*(12):1015-1024
- [9] Eda G, Mattevi C, Yamaguchi H, et al. *J. Phys. Chem. C*, **2009**, *113*(35):15768-15771
- [10] Fan X, Peng W, Li Y, et al. *Adv. Mater.*, **2008**, *20*(23):4490-4493
- [11] Shin H J, Kim K K, Benayad A, et al. *Adv. Funct. Mater.*, **2009**, *19*(12):1987-1992
- [12] Stankovich S, Dikin D A, Piner R D, et al. *Carbon*, **2007**, *45*(7):1558-1565
- [13] Venugopal G, Krishnamoorthy K, Mohan R, et al. *Mater. Chem. Phys.*, **2012**, *132*(1):29-33
- [14] Zhan Z, Zheng L, Pan Y, et al. *J. Mater. Chem.*, **2012**, *22*(6):2589-2595
- [15] Liu H, Sun Q Q, Chen L, et al. *Chin. Phys. Lett.*, **2010**, *27*(7):077201, DOI:10.1088/0256-307X/27/7/077201
- [16] Liang Y, Wang H, Casalongue H S, et al. *Nano Res.*, **2010**, *3*(10):701-705
- [17] ZHANG Xiao-Yan(张晓艳), LI Hao-Peng(李浩鹏), CUI Xiao-Li(崔晓莉). *Chinese J. Inorg. Chem.*(无机化学学报), **2009**, *25*(11):1903-1907
- [18] CHEN Xiao-Gang(陈小刚), HE Yun-Qiu(贺蕴秋), ZHANG Qiong(张琼), et al. *Chinese J. Inorg. Chem.*(无机化学学报), **2009**, *25*(11):1953-1959
- [19] Zhang Y, Li H, Pan L, et al. *J. Electroanal. Chem.*, **2009**, *634*(1):68-71
- [20] Singh G, Choudhary A, Haranath D, et al. *Carbon*, **2012**, *50*(2):385-394
- [21] Marcano D C, Kosynkin D V, Berlin J M, et al. *ACS Nano*, **2010**, *4*(8):4806-4814
- [22] LI Le(李乐), HE Yun-Qiu(贺蕴秋), CHU Xiao-Fei(储晓菲), et al. *Acta Phys.-Chim. Sin.*(物理化学学报), **2013**, *29*(8):1681-1690
- [23] Wang J, Tsuzuki T, Tang B, et al. *ACS Appl. Mater. Interfaces*, **2012**, *4*(6):3084-3090
- [24] Luo Q P, Yu X Y, Lei B X, et al. *J. Phys. Chem. C*, **2012**, *116*(14):8111-8117
- [25] Bagri A, Mattevi C, Acik M, et al. *Nat. Chem.*, **2010**, *2*(7):581-587
- [26] Tan Z, Chua D H. *J. Electrochem. Soc.*, **2011**, *158*(4):K112-K116